



**FCTUC** FACULDADE DE CIÊNCIAS  
E TECNOLOGIA  
UNIVERSIDADE DE COIMBRA

Departamento de Engenharia Eletrotécnica e de Computadores

# Visão por Computador

2017/2018

## Trabalho Prático Nº3

Deteção e Cantos e Deteção de retas e  
circunferências utilizando transformada de Hough

Eduardo Filipe da Fonseca Rodrigues  
2007105369

## Parte 1: Detecção de cantos

No trabalho prático nº2 foi calculado o gradiente de tons de cinza numa imagem de modo a detetar arestas, sendo estas indicadas por uma variação rápida dos tons de cinza, ou seja, uma derivada acentuada.

Utilizando o mesmo conceito, podemos também detetar cantos. Sabendo que uma aresta é caracterizada por um gradiente acentuado numa certa orientação (perpendicular à orientação da aresta), um canto pode ser caracterizado por uma área de uma imagem onde o gradiente tem duas orientações distintas.

Para calcular então os cantos numa imagem, teremos então de calcular o gradiente desta. Para tal foi utilizado um filtro de *Sobel* utilizando a função *imgradientxy*(*Imagem*, '*sobel*').

Tendo o gradiente calculado, foi definida uma vizinhança para cada pixel de  $N \times N$  pixéis, sendo 'N' um valor ímpar. Utilizando os valores de gradiente da vizinhança é calculada a matriz  $C$  definida por

$$C = \begin{bmatrix} \sum I_x^2 & \sum I_x I_y \\ \sum I_x I_y & \sum I_y^2 \end{bmatrix}$$

onde  $I_x$  e  $I_y$  são os valores do gradiente calculado nos pontos pertencentes à vizinhança  $N \times N$  definida anteriormente.

Sendo a matriz  $C$  simétrica, pode então calcular-se os valores próprios, utilizando a função *eig*( $C$ ), obtendo uma matriz diagonal

$$C = \begin{bmatrix} \lambda_1 & 0 \\ 0 & \lambda_2 \end{bmatrix}$$

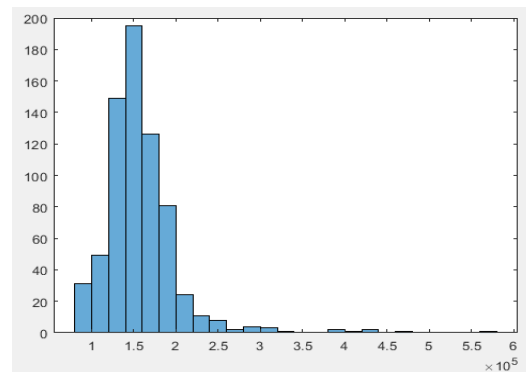
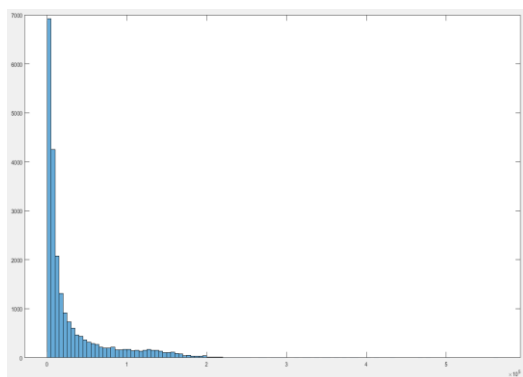
Utilizando os valores próprios  $\lambda_1$  e  $\lambda_2$  pode-se então estudar o comportamento do gradiente da imagem na vizinhança, sendo assim possível detetar cantos.

Para tal, é escolhido o menor de ambos os valores próprios e estudado o seu valor. Para melhor esclarecimento, é definido como  $\lambda_1 > \lambda_2$ . Se  $\lambda_2 = 0$ , então estamos perante uma zona onde não há variação de tons de cinza ( $\lambda_1 = 0$ ) ou uma zona onde está presente uma aresta ( $\lambda_1 > 0$ ). Se  $\lambda_2 > 0$ , estamos então numa zona onde o gradiente tem dois sentidos, ou seja, um possível canto.

Como a imagem utilizada "chess\_2.png" não é sintética, aproximadamente todos os pixéis foram detetados como sendo cantos, sendo então necessário a utilização de um valor limiar para reduzir a deteção a cantos reais e não produzidos por ruído na imagem.

### 2)

Para definir um bom valor para o limiar de deteção, foi originalmente utilizado o valor 0, no entanto, no histograma gerado apenas se conseguia observar o valor máximo de aproximadamente 500000. Utilizando o valor médio dos valores medidos (aprox. 1000), foi então selecionado o valor 2000 como limiar, sendo obtido o seguinte histograma



Após observação do histograma, foi então decidido utilizar como limiar o valor 100000. Sendo assim possível detetar os cantos com maior precisão.

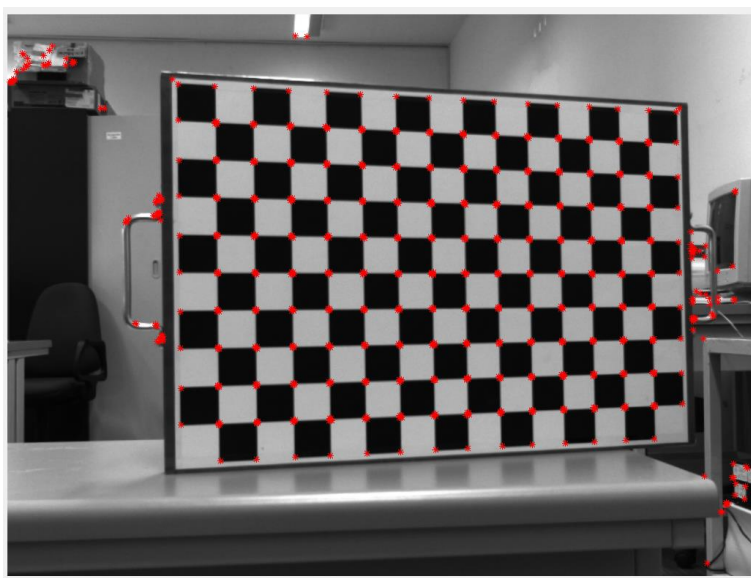


Figura 3 – Cantos detetados

3)

Para estudar o efeito do tamanho da janela utilizada pelo algoritmo, foi gerada uma imagem com um padrão xadrez com quadrados de 10x10 pixéis

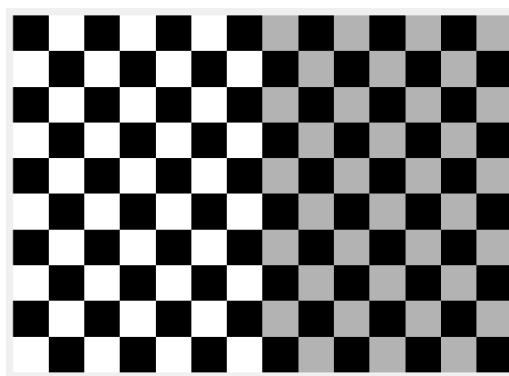


Figura 4 - imagem sintética utilizada

Foi então aplicado a esta imagem o algoritmo com o valor limiar 20, sendo uma imagem sintética, não possui ruído que possa provocar erros na detecção dos cantos, e uma janela 3x3 e de novo com uma janela 5x5.

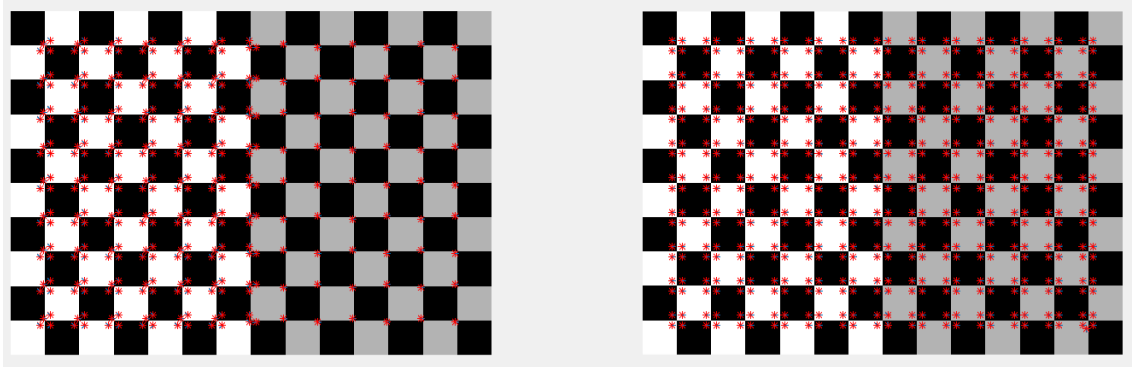


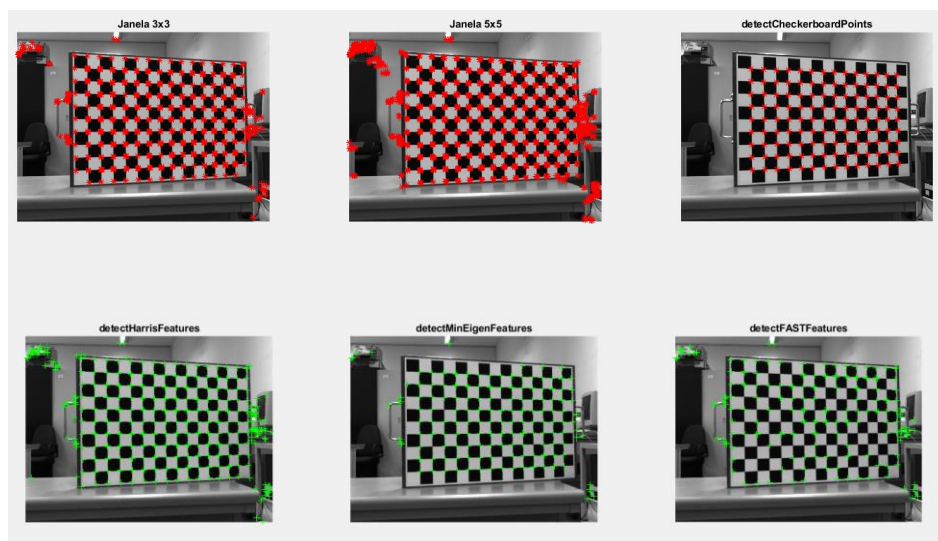
Figura 5 - Comparação de algoritmo de detecção de cantos com janelas 3x3 (esquerda) e 5x5 (direita)

Como se pode comprovar, o algoritmo deteta todos os cantos. No entanto, com uma janela 3x3, o algoritmo tem maior dificuldade a detetar cantos quando o fundo é cinza. Tal pode ser explicado com o funcionamento do algoritmo. Como é utilizado o gradiente da imagem para determinar a posição dos cantos, quando os valores de cinza dos pixels são aproximados, o gradiente terá um menor módulo, o que por sua vez irá reduzir os valores calculado na matriz  $C$ , reduzindo os seus valores próprios, podendo inclusivamente descer abaixo do valor definido como limiar e deixando de ser detetados como canto.

Este efeito deixa de se verificar aumentando o tamanho da janela para 5x5.

#### 4)

Utilizando de novo a imagem “chess\_2.png”, foram testadas as funções *detectCheckerboardPoints*, *detectHarrisFeatures*, *detectMinEigenFeatures*, *detectFASTFeatures* e o algoritmo escrito com janelas 3x3 e 5x5.



## Parte 2: Detecção de retas e circunferências

Uma forma geométrica simples pode ser definida através da sua equação matemática. No caso de uma reta, todos os pontos pertencentes obedecem à equação  $y = mx + b$ , sendo  $m$  o valor do declive da reta  $b$  o valor da abcissa quando  $x = 0$  e  $x$  e  $y$  variáveis. No entanto, para verificar a existência de uma reta, teria de ser verificado a existência de todos os pontos numa vizinhança para cada valor de  $m$  e  $b$ , para cada possível reta. Outra possibilidade é então reescrever a equação da reta segundo a forma  $\rho = x \cdot \cos\theta + y \cdot \sin\theta$ , sendo desta forma possível representar uma reta através da sua distância à origem ( $\rho$ ) e do ângulo que esta faz com o eixo  $ox$  ( $\theta$ ).

Utilizando então uma representação RhoTheta, uma reta é representada como o ponto  $(\rho, \theta)$ .

Para detetar retas utilizando a transformada de Hough numa imagem previamente tratada com um filtro *Canny*, foi então aplicado o seguinte algoritmo:

- 1- Criar uma matriz de acumulação  $A$  com dimensões  $\rho \times \theta$
- 2- Para cada pixel detetado na imagem:
  - a. Definir um valor  $\theta_i$
  - b. Calcular  $\rho_i$  equivalente
  - c. Incrementar  $A$  na posição  $(\rho_i, \theta_i)$
- 3- Calcular os máximos locais de  $A$
- 4- Calcular valores de  $m$  e  $b$  correspondentes aos valores  $\rho$  e  $\theta$  dos máximos locais através das equações  $m = -\frac{1}{\tan\theta}$  e  $b = \frac{\rho}{\sin\theta}$
- 5- Devolver valores calculados e matriz de acumulação

Deste modo, para cada ponto pertencente a uma aresta, teremos calculado todas as possíveis retas que poderiam passar nesse ponto e guardado os seus valores na matriz  $A$ .

Ao aplicar este processo a um segundo pixel pertencente a uma reta, um dos dupletos  $(\rho_j, \theta_j)$  calculado, será idêntico ao calculado noutra ponto, tornando o valor nessa coordenada de  $A$  superior aos restantes.

Para testar o algoritmo foi utilizada a imagem "lines\_circles\_2.jpg", onde foi aplicado um filtro *Canny* como método de binarização da imagem.

Após ser aplicado o algoritmo, foram encontradas as seguintes retas

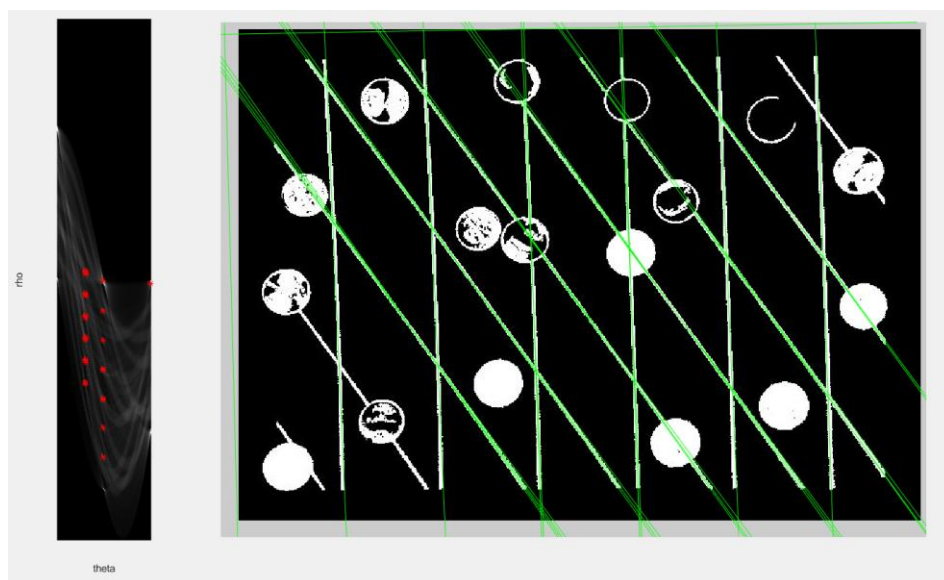


Figura 6 - Matriz de acumulação e retas detetadas

Do mesmo modo, pode então procurar por circunferências na imagem. Utilizando como equação de parametrização

$$\begin{cases} x = r \times \cos \theta \\ y = r \times \sin \theta \end{cases}$$

poderemos então definir o seguinte algoritmo para detecção de circunferências:

- 1- Ordenar as coordenadas de todos os pontos detetados pelo filtro *Canny* um vetor coluna
- 2- Criar uma matriz “x” tridimensional repetindo esse vector, obtendo uma matriz de dimensões  $p_n \times \theta \times r$
- 3- Criar uma nova matriz “x\_radius” com o mesmo tamanho da anterior, calculando para cada elemento as suas coordenadas através das equações de parametrização definidas anteriormente
- 4- Subtrair à matriz “x” a matriz “x\_radius”, obtendo assim uma matriz “possibleCentersA” de possíveis centros. Onde em cada elemento da matriz está representada a posição do centro de uma circunferência que teria representado naquela posição da imagem um ponto a ela pertencente
- 5- Criar uma matriz de acumulação *A* de dimensões  $l \times h \times r$  onde *l* e *h* serão as dimensões da imagem e *r* a gama de raios para a qual estamos a procurar circunferências
- 6- Retirar da matriz “possibleCentersA” os valores exteriores à imagem. (Serão apenas consideradas as circunferências cujo centro possa ser representado na imagem)
- 7- Para cada elemento de “possibleCentersA”, incrementar o valor da matriz de acumulação nas coordenadas  $(a_i, b_i, r_i)$ , onde  $a_i$  e  $b_i$  são as coordenadas no centro da circunferência e  $r_i$  o seu raio
- 8- Calcular os máximos locais de *A*
- 9- Devolver as coordenadas dos máximos locais

Deste modo, de forma análoga ao algoritmo para detecção de retas, pontos pertencentes a uma circunferência, terão as coordenadas do seu centro e o raio em comum entre si, provocando o valor superior nessa coordenada da matriz *A*.

Utilizando o algoritmo na mesma imagem utilizada para a detecção de retas, foi obtida a seguinte matriz de acumulação e as seguintes circunferências

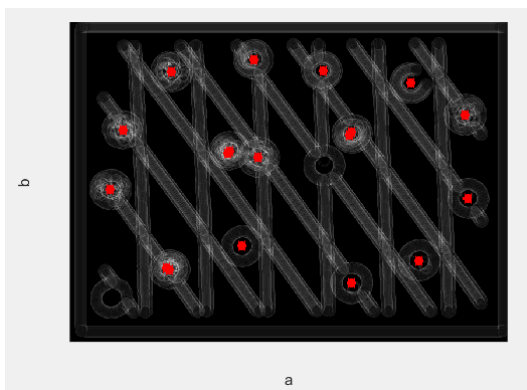


Figura 7 - matriz de acumulação

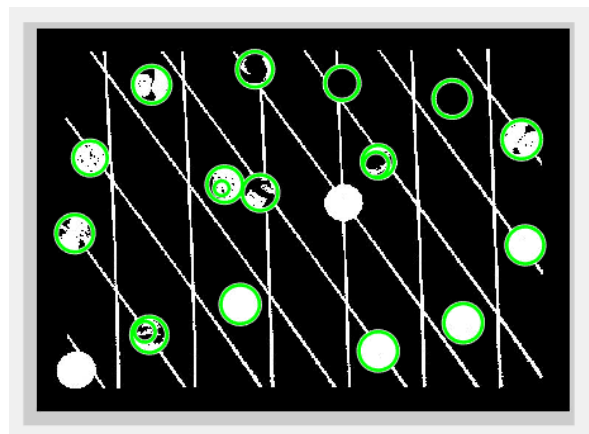


Figura 8 - circunferências detetadas